

بررسی تغییرات غلظت ذرات معلق هوای آزاد و ارزیابی اثرات بهداشتی منتب به آنها در شهر تبریز

اکبر غلامپور^۱، رامین نبی زاده^۲، محمد صادق حسنوند^۳، حسن تقی پور^۴، ساسان فریدی^۵، امیر حسین محوى^{۶*}

تاریخ دریافت: ۹۳/۰۵/۲۹ تاریخ پذیرش: ۹۳/۰۸/۲۸

چکیده

زمینه و هدف: تعیین میزان اثرات آلودگی هوا در شهرهای مختلف با دو چالش مهم روبرو است؛ اولاً محدودیت اطلاعات مربوط به اثرات بهداشتی آلاینده‌ها و ثانیاً کمبود اطلاعات در خصوص میزان مواجهه با آلاینده‌های هوا و نیز مقادیر غلظت آنها. مطالعه حاضر از نوع مطالعات مشاهده‌ای بکار رفته و از شهریور ۱۳۹۱ الی مرداد ۱۳۹۲ میزان غلظت، تغییرات فصلی و برآورد اثرات بهداشتی منتب به ذرات معلق هوای آزاد شهر تبریز تعیین گردید.

روش بررسی: بمنظور اندازه‌گیری ذرات معلق از نمونه بردار با حجم بالا و دستگاه *EPAM5000 Haz-Dust* استفاده شده و اثرات بهداشتی منتب به ذرات معلق با استفاده از نرم افزار *AirQ2.2.3* برآورد گردید.

یافته‌ها: بر اساس نتایج حاصله، متوسط سالیانه غلظت ذرات معلق TSP , $PM_{2.5}$ و PM_{10} در منطقه شهری به ترتیب برابر $139 \pm 83 \mu\text{g}/\text{m}^3$ و $27 \pm 27 \mu\text{g}/\text{m}^3$ در منطقه صنعتی به ترتیب برابر $178 \pm 110 \mu\text{g}/\text{m}^3$ و $40 \pm 40 \mu\text{g}/\text{m}^3$ بوده و متوسط مقدار نسبت $PM_{2.5}/PM_{10}$, PM_{10}/TSP و $PM_7/PM_{2.5}$ به ترتیب برابر 0.28 ± 0.28 , 0.27 ± 0.27 و 0.77 ± 0.77 بودند. برای منطقه شهری به ترتیب برابر 0.48 ± 0.48 , 0.33 ± 0.33 و 0.41 ± 0.41 و برای منطقه صنعتی به ترتیب برابر 0.61 ± 0.61 , 0.37 ± 0.37 و 0.62 ± 0.62 بودند. تعداد کل مرگ‌های منتب به *TSP* برآورده شد که از این تعداد، ۲۰۲ مورد مرگ در اثر بیماری‌های قلبی و عروقی و تعداد ۹۹ مورد نیز در اثر بیماری‌های تنفسی بوده است. از طرفی میزان کل مرگ ناشی از ذرات PM_{10} و $PM_{2.5}$ به ترتیب برابر 363 ± 360 و 360 ± 360 مورد تخمین زده شد.

نتیجه گیری: طی این مطالعه مشخص شد که در طی روزهای نمونه برداری شده در منطقه شهری، غلظت ذرات PM_{10} و $PM_{2.5}$ به ترتیب 73 ± 69 درصد از حد استاندارد ملی و از نظر استاندارد *EPA* به ترتیب 8 ± 50 درصد از سطح استاندارد بالاتر بوده‌اند. همچنین بررسی مقادیر نسبتی‌های مختلف ذرات معلق با اندازه‌های مختلف مشخص نمود که در شهر تبریز و بخصوص منطقه صنعتی آن، خاک زمین‌های اطراف و تعلیق دوباره ذرات از زمین سهم چشمگیری در انتشار ذرات معلق منطقه داشته و ذرات معلق هوای شهر تبریز در اغلب اوقات سال فراتر از حد استانداردهای وضع شده است.

واژگان کلیدی: آلودگی هوا، ذرات معلق، نرم افزار *AirQ2.2.3*, اثرات بهداشتی، تبریز

۱- مرکز تحقیقات آلودگی هوا، پژوهشکده محیط زیست، دانشگاه علوم پزشکی تهران؛ دکتری بهداشت محیط، استادیار دانشکده بهداشت، دانشگاه علوم پزشکی تبریز

۲- دکتری بهداشت محیط، استاد دانشکده بهداشت، دانشگاه علوم پزشکی تهران؛ مرکز تحقیقات آلودگی هوا، پژوهشکده محیط زیست، دانشگاه علوم پزشکی تهران

۳- دکترای بهداشت محیط، استادیار مرکز تحقیقات آلودگی هوا، پژوهشکده محیط زیست، دانشگاه علوم پزشکی تهران؛ دانشکده بهداشت دانشگاه علوم پزشکی تهران

۴- دکتری بهداشت محیط، دانشیار دانشکده بهداشت، دانشگاه علوم پزشکی تبریز

۵- دانشجوی دکتری مهندسی بهداشت محیط، دانشکده بهداشت، دانشگاه علوم پزشکی تهران

۶- (نویسنده مسئول): مرکز تحقیقات مواد زائد جامد، پژوهشکده محیط زیست، دانشگاه علوم پزشکی تهران؛ دکتری بهداشت محیط، استادیار دانشکده بهداشت، دانشگاه علوم پزشکی تهران
ahmahvi@yahoo.com

مقدمه

بهداشتی آلودگی هوا راهنمای مهمی برای تصمیم‌گیران جوامع محسوب می‌شود. با استفاده از کمی سازی، میزان اثرات بهداشتی آلودگی هوا برآورد شده و اولویت کنترل آلودگی هوا در مقایسه با دیگر عوامل خطرزا مشخص می‌گردد.

شهر تبریز با وسعتی حدود 118 km^2 مرکز استان آذربایجان شرقی است. این شهر با جمعیت بیش از $1/5$ میلیون نفر، چند صدهزار خودرو، مصرف میلیون‌ها لیتر بنزین، صنایع آلاند هزار نظیر پالایشگاه، پتروشیمی و نیروگاه حرارتی (که در مجاورت و 5 کیلومتری این شهر قرار دارد)، شهرک‌های صنعتی اطراف آن، صنایع بزرگ و کوچک مختلف مستقر در داخل و حاشیه شهر یکی از بزرگ‌ترین و آلوده‌ترین شهرهای ایران بشمار می‌رود. با این حال در خصوص مقادیر ذرات معلق هوای شهر تبریز، مطالعه گزارش شده‌ای وجود ندارد و یکی از دلایل عدمه مطالعه حاضر نیز فقدان اطلاعات و مطالعات در خصوص مقادیر غلظت ذرات معلق در شهر تبریز است. لذا هدف اصلی این مطالعه تعیین میزان غلظت ذرات معلق در منطقه شهری و صنعتی شهر تبریز و تغییرات فصلی آن به همراه کمی سازی اثرات بهداشتی ناشی از ذرات است.

مواد و روش‌ها

- موقعیت مکانی و زمان انجام نمونه برداری‌ها
مطابق استاندارد سازمان حفاظت محیط زیست آمریکا در خصوص مکان ایستگاه سنجش آلودگی هوا (جدول ۱) (۹) پشت بام دانشکده بهداشت دانشگاه علوم پزشکی تبریز (N_E^{۳۸°۰۲'۳۰"} و N_E^{۴۶°۰۲'۳۸"}) بعنوان محل نمونه برداری از ذرات معلق منطقه شهری تبریز و محوطه پتروشیمی تبریز (N_E^{۴۶°۰۳'۳۶"} و N_E^{۴۶°۰۴'۲۴"}) بعنوان محل نمونه برداری از ذرات معلق هوای منطقه صنعتی انتخاب گردیدند(شکل ۱). دوره زمانی نمونه برداری از ابتدای شهریور سال ۱۳۹۱ تا انتهای مرداد ماه ۱۳۹۲ انتخاب شده و اندازه گیری ذرات معلق طبق رهنمود سازمان حفاظت محیط زیست آمریکا هر ۶ روز یکبار بصورت ۲۴ ساعته انجام گردید(۱۰).

آلودگی هوا عبارت است از حضور مواد نامطلوب در هوا به مدت زمان و غلظتی که بتواند اثرات مضر ایجاد کند(۱). تحقیقات علمی نشان داده است که از دیدگاه مخاطرات بهداشت عمومی و سلامتی، ذرات معلق جزو آلاند های اصلی هستند. در اکتبر ۲۰۱۳، کارشناسان IARC فارغ از اندازه ذرات معلق یا ترکیبات شیمیایی آنها، ذرات معلق هوای آزاد را جزو گروه ۱ مواد سرطان‌زا برای انسان‌ها تقسیم بندی نمودند(۲).

معمولًا ذرات منتقله توسط هوا دارای اندازه‌ای با رنج $0.001\text{--}500 \mu\text{m}$ هستند که بخش عمده آنرا مواد ذره‌ای PM₁₀ در رنج $0.01\text{--}10 \mu\text{m}$ تشکیل می‌دهند(۳،۴). ذرات شامل ذرات دارای قطر آبرو دینامیکی $10\text{--}100 \mu\text{m}$ و کمتر هستند و بدلیل اینکه قادرند از اولین سد دفاعی بدن (بینی و گلو) عبور کرده و به ریه‌ها رسیده و در آنجا رسوب کنند به ذرات Thoracic معروف هستند(۵). اندازه ذرات ریز بین $0.1\text{--}2 \mu\text{m}$ بوده و به همراه ذرات بسیار ریز تحت عنوان PM_{2.5} (دارای قطر $2.5 \mu\text{m}$ و کمتر) شناخته می‌شوند. بدلیل قابلیت نفوذ این ذرات به آلوئیل‌ها، ذرات PM_{2.5} بعنوان ذرات قابل استنشاق شناخته می‌شوند(۵).

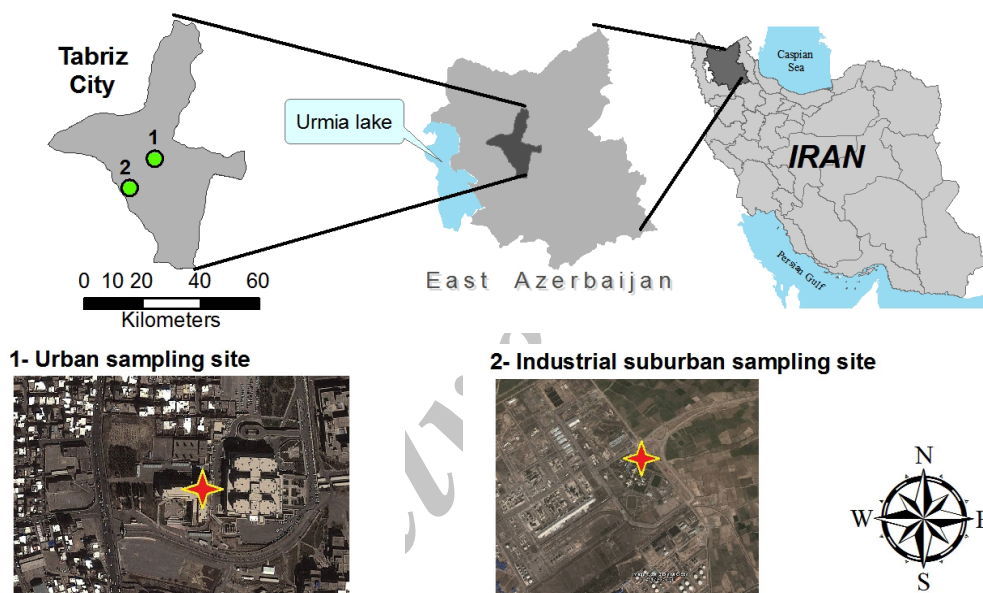
طی مطالعه Pope و همکاران(۶) در ایالات متحده مشخص شد که غلظت‌های بالای ذرات با ریسک افزایش بستره شدن بیماران نارسایی قلبی در ارتباط است. این مطالعه به همراه سایر مطالعات دریافتند که در معرض قرار گرفتن با آلاند های هوای بخصوص ذرات ریز ممکن است سبب تشدید نارسایی قلبی و دیگر بیماری‌های قلبی-عروقی شود(۷). اسناد معيار کیفیت هوای سال ۱۹۹۶، گزارش کرده است که خطر نسبی افزایش مرگ و میرهای غیرتصادفی، در صورت افزایش متوسط PM₁₀ به میزان $50 \mu\text{g}/\text{m}^3$ در رنجی بین $1/0.15\text{--}1/0.85$ قرار دارد(۸).

آگاه نمودن تصمیم‌گیران و عموم مردم از میزان اثرات بهداشتی آلودگی هوا اولین مرحله اساسی در توسعه برنامه‌های راهبردی موفق کنترل آلاند های محسوب می‌شود. کمی سازی اثرات

نمونه برداری و اندازه گیری ذرات معلق دستگاه های مورد استفاده جهت انجام اندازه گیری کل ذرات معلق (TSP) و PM_{10} , دستگاه نمونه بردار با حجم بالا Andersen (Model Andersen) High Volume Sampler) ساخت کشور آمریکا بوده و طبق روش استاندارد هوای محیطی سازمان محیط زیست آمریکا اندازه گیری ذرات معلق انجام گرفت (۱۱). غلظت ذرات معلق $PM_{2.5}$ و PM_1 نیز با استفاده از دو دستگاه پرتابل HAZ-DUST EPAM-5000 بطور همزمان اندازه گیری و غلظت آنها در هوای محیطی مشخص گردید.

جدول ۱. استاندارد سازمان حفاظت محیط زیست آمریکا - جهت مکان یابی ایستگاه های سنجش آلودگی هوا (۹)

پارامتر	استاندارد
فاصله از خیابان	> ۲۰ m
فاصله از نزدیکترین درخت	> ۲۰ m
فاصله از منبع تولید آلودگی هوا	> ۲۰ m
فاصله از موانع	دو برابر ارتفاع مانع
فاصله از سطح زمین	۳-۱۵ m



شکل ۱. موقعیت محل نمونه برداری در منطقه شهری و صنعتی در شهر تبریز

معلق هوا ($PM_{2.5}$, TSP, PM_{10}) نرم افزار AirQ 2.2.3، نرم افزار تخصصی ارزیابی اثرات بهداشتی کیفیت هوا است که توسط WHO طراحی و ارایه شده و قادر را قادر می سازد تا اثرات بالقوه متناسب به یک آلاینده خاص بر انسانها را در یک ناحیه شهری معین و طی دوره زمانی خاص ارزیابی نماید. این نرم افزار اثر آلاینده مدنظر بر سلامت انسان را به صورت پیامدهای بهداشتی مرگ و میر و نیز بروز و شیوع بیماری ها ارایه می نماید. بروز یا شیوع بیماری ها شامل اثرت مزمن یا اثرات حاد است (۱۲، ۱۳). خطر

- اطلاعات هواشناسی

اطلاعات مربوط به هواشناسی مناطق مورد مطالعه از مرکز اطلاعات هواشناسی ملی و سازمان هواشناسی آذربایجان شرقی دریافت گردید. این اطلاعات با استفاده از نرم افزار Excel پردازش شده و میانگین ها، حداقل ها، حداقل ها و ... با استفاده از این نرم افزار تهیه شد. همچنین با استفاده از نرم افزار WRPLOT View Freeware 7.0.0 گلباد مربوط به منطقه و اطلاعات سرعت و جهت باد غالب تهیه گردید.

- کمی سازی و برآورد اثرات بهداشتی متناسب به ذرات

غیرآماری تابع غلظت - پاسخ، بزرگ تر هستند (۱۲، ۱۴).

باقته‌ها

- نتایج داده‌های هواشناسی

در جدول ۲ خلاصهای از وضعیت هواشناسی شهر تبریز بر اساس اطلاعات ایستگاه هواشناسی مستقر در فرودگاه شهر تبریز و در شکل ۱ (الف) روند تغییرات متوسط روزانه درجه حرارت، عمق دید، سرعت باد و میزان بارش در شهر تبریز ارایه شده است. در طول دوره زمانی مورد مطالعه، متوسط دمای روزانه 11.3°C ، حداقل دمای 24°C و مaksimum دمای روزانه 36°C بود. از طرفی این شهر با میزان بارندگی حداقل آن 10.4°C در سال یکی از مناطق کم بارش کشور به شمار می‌رسد.

در شکل ۱ (ب) گلبادهای سالیانه محل مورد مطالعه ارایه شده است. نتیجه اطلاعات هواشناسی نشان داد که باد غالب سالیانه در این منطقه بادهای شمال شرقی و شرقی است. در فصول زمستان و بهار بادهای شمال شرقی غالب بوده ولی در فصلهای تابستان و پاییز بادهای شرقی بر جسته تر هستند لذا با در نظر گرفتن تصاویر محل استقرار منطقه صنعتی تبریز نسبت به منطقه مسکونی یا شهری که در بخش جنوب غربی شهر تبریز قرار گرفته است؛ می‌توان نتیجه گرفت که در اغلب اوقات سال جهت باد از سمت منطقه مسکونی به منطقه صنعتی بوده و آلودگی هوای منطقه صنعتی تاثیر زیادی بر کیفیت هوای منطقه شهری ندارد.

نسبی (Relative Risk) یا RR اغلب بصورت افزایش میزان مرگ و میر و بیماری بیش از میزان مبنای همراه با یک افزایش ویژه در غلظت مواد ذرهای، یکی از شاخص‌های ویژه مورد استفاده در گزارشات به شمار می‌رود.

جزء متنسب یا نسبت متنسب (Attributable Proportion) (AP) بخشی از پیامد بهداشتی است که می‌توان آن را مرتبط با مواجهه جمعیتی خاص طی یک دوره زمانی مشخص دانست. این جزء با استفاده از فرمول زیر قابل محاسبه است:

$$AP = \frac{\sum(\{[RR(c) - 1] \times p(c)\})}{\sum[RR(c) \times p(c)]}$$

که در آن ($RR(c)$) خطر نسبی پیامد بهداشتی در گروه C یا گروه مورد نظر و ($p(c)$) نسبت جمعیت گروه C یا گروه موردنظر است. با دانستن میزان بروز پایه پیامد بهداشتی انتخابی (I) در جامعه مورد نظر، میزان منتبه به تماس جمعیت (یا تعداد موارد در واحد جمعیت) (IE) به صورت زیر قابل محاسبه خواهد بود:

$$AP = I \times IE$$

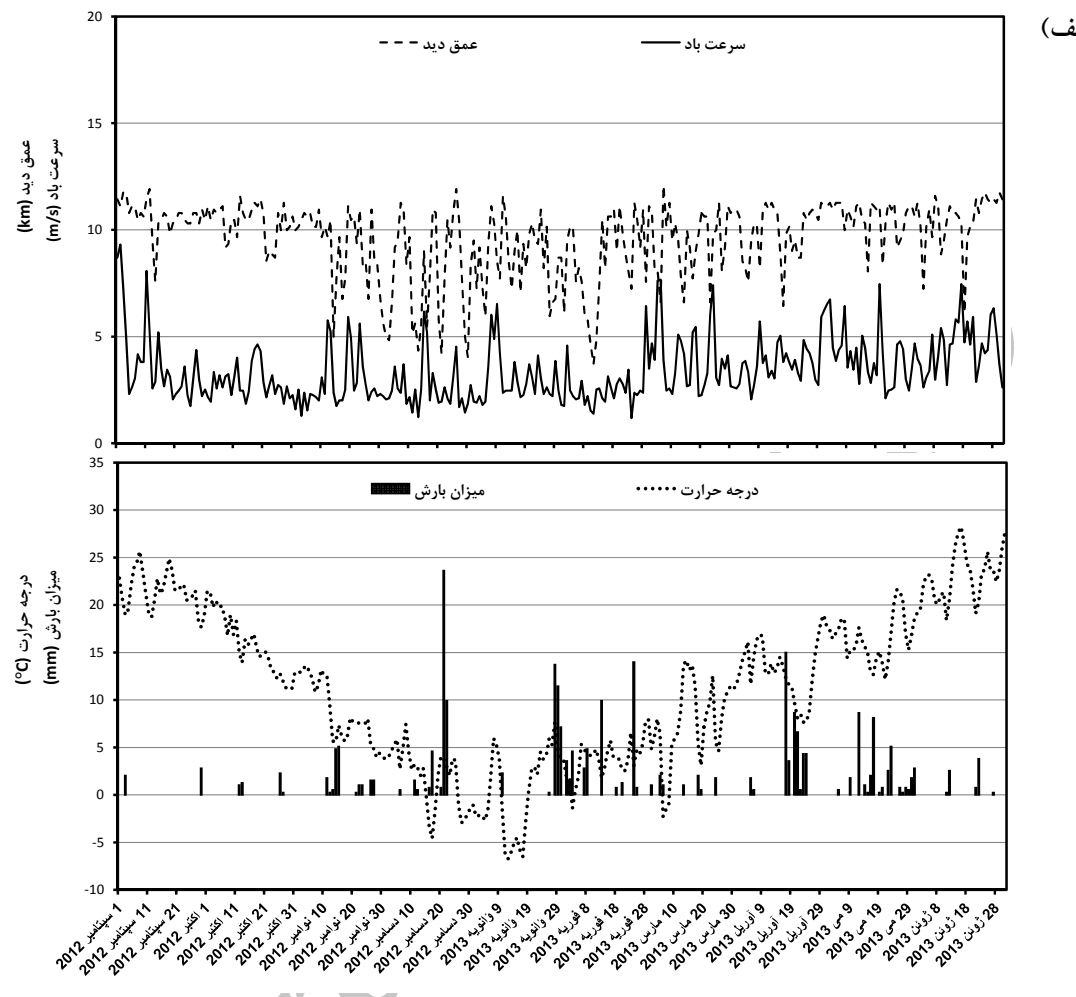
در یک جمعیت با اندازه N این میزان را می‌توان به تعداد موارد برآورد شده متناسب به تماس (NE) تبدیل نمود:

$$NE = IE \times N$$

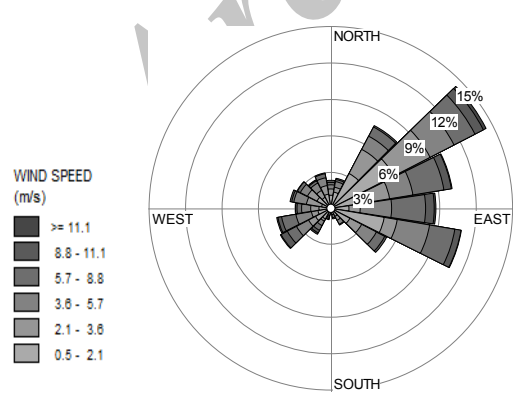
با قراردادن فواصل اطمینان برآورده RR در فرمول، می‌توان حدود بالا و پایین برآورده AP و محدوده تعداد موارد متنسب به مواجهه مورد انتظار را تعیین نمود. البته در عمل عدم قطعیت اثر به علت خطاهای ارزیابی مواجهه و عدم قطعیت‌های

جدول ۲: خلاصه آماری داده‌های هواشناسی شهر تبریز در طی دوره مطالعه (شهریورماه ۱۳۹۱ تا تیرماه ۱۳۹۲)

میانه	حداکثر	حداقل	انحراف معیار	میانگین	
12.2	28.2	-6.7	8.2	11.3	متوسط دمای روزانه ($^{\circ}\text{C}$)
19.0	36.0	-2.0	9.1	17.5	حداکثر دمای روزانه ($^{\circ}\text{C}$)
6.1	21.6	-10.4	7.3	5.8	حداقل دمای روزانه ($^{\circ}\text{C}$)
-	23.6	0.0	2.5	0.8	میزان بارش (mm)
34.8	54.3	7.2	9.1	34.3	رطوبت نسبی (%)
3.0	9.3	1.2	1.4	3.4	سرعت باد (m/s)
10.3	12.1	3.7	1.8	9.6	عمق دید (km)



(ب)



شكل ۲. (الف) روند تغییرات متوسط روزانه

درجه حرارت، عمق دید، سرعت باد و میزان

بارش در شهر تبریز و (ب) گلbad سالیانه شهر

تبریز (از شهریور ماه ۱۳۹۱ تا تیر ماه ۱۳۹۲).

که مشاهده می شود نوسانات تغییرات غلظت ذرات معلق در منطقه شهری بیشتر از منطقه صنعتی است. با مقایسه مقادیر پارامترهای حداکثر، حداقل، میانه، پرستایل (صدک) ۲۵ و نیز پرستایل ۷۵ ذرات منطقه شهری و صنعتی مشاهده می شود که کلیه این پارامترها در منطقه صنعتی بیشتر از منطقه شهری بوده است.

از طرفی با در نظر گرفتن شکل ۳ و نیز جدول ۴ مشخص می شود که در طی روزهای نمونه برداری شده در منطقه شهری، غلظت ذرات PM_{10} و $PM_{2.5}$ به ترتیب ۷۳ درصد و ۶۹ درصد از حد استاندارد ملی و ۸ و ۵۰ درصد از سطح استاندارد EPA بیشتر بوده اند(۱۵). WHO برای اثرات بلند مدت، غلظت $PM_{2.5}$ را برای $\mu\text{g}/\text{m}^3$ ۱۰ و غلظت PM_{10} برای $\mu\text{g}/\text{m}^3$ ۲۰ برابر ذرات PM_{10} بعنوان خطوط راهنمای در نظر گرفته و وضع نموده است(۱۶). همچنین در منطقه صنعتی غلظت ذرات PM_{10} و $PM_{2.5}$ به ترتیب ۹۵ درصد و ۸۵ درصد از حد استاندارد ملی و ۵ و ۷۱ درصد از سطح استاندارد EPA فراتر بوده اند. تاکنون هیچگونه استانداردی برای ذرات PM_1 وضع نشده است.

- تغییرات غلظت ذرات معلق (PM_{10} ، TSP ، $PM_{2.5}$ و PM_1)

با بررسی جدول شماره ۳ مشاهده می شود که متوسط سالیانه غلظت ذرات معلق (PM_{10} ، TSP ، PM_1 و $PM_{2.5}$) در طی روزهای نمونه برداری شده در منطقه شهری به ترتیب برابر $38, 83, 139 \mu\text{g}/\text{m}^3$ و $27 \mu\text{g}/\text{m}^3$ و در منطقه صنعتی به ترتیب برابر $40, 110, 178 \mu\text{g}/\text{m}^3$ بوده است. این مقادیر به مراتب بیشتر از غلظت ذرات معلق در شهرهای کشورهای توسعه یافته هستند.

حداکثر غلظت ۲۴ ساعته ذرات معلق $PM_{2.5}$ ، PM_{10} ، TSP و PM_1 در منطقه صنعتی به ترتیب برابر با $276, 157, 57 \mu\text{g}/\text{m}^3$ بوده است که در طی ماههای دی، آبان، بهمن و بهمن (به ترتیب) رخداده است. از آنجایی که این منطقه صنعتی بوده و آلودگی هوای منطقه، ناشی از فعالیت‌های صنعتی و شرایط آب و هوایی است لذا الگوی خاصی را نمی توان برای آن پیش‌بینی نمود.

در شکل ۳ نمودار جعبه‌ای غلظت سالیانه ذرات معلق هوای محیطی منطقه شهری و صنعتی به همراه سطح استاندارد مربوط به ذرات PM_{10} و $PM_{2.5}$ نمایش داده شده است. همان‌گونه

جدول ۳. خلاصه آماری دادهای ماهیانه، فصلی و سالیانه TSP در هوای مسیط منطقه شهری بر حسب PM₁₀ (میکرون) (ن)

ردیف	نام	جنس	وزن	سایز	تاریخ		مقدار		فصول		رسانیده						
					تاریخ	تاریخ	مداد	تیر	گرم*	رسانیده							
1	پیشگین	زن	۱۳۹.۲	۱۳۹.۶	۱۳۷.۰	۱۲۸.۰	۱۳۹.۳	۹۸.۷	۹۳.۵	۹۷.۸	۱۳۹.۵	۱۷۸.۴	۱۸۴.۵	۱۱۲.۰	۷۰.۵	۲۰۹.۸	۱۴۳.۴
2	انحراف معیار	زن	۷۲.۱	۷۹.۵	۵۹.۵	۲۳.۱	۱۹.۳	۲۳.۶	۱۰.۹	۳۴.۱	۶۶.۵	۵۵.۲	۹۸.۶	۳۶.۱	۶۵.۲	۷۱.۸	۶۰.۴
3	حداکثر	زن	۲۶.۵	۲۶.۵	۶۷.۹	۱۰۱.۴	۱۱۸.۴	۷۸.۲	۷۵.۶	۴۵.۷	۷۸.۶	۱۰۱.۵	۱۰۴.۷	۷۶.۴	۲۶.۵	۱۱۳.۱	۶۷.۹
4	حداکثر	زن	۴۸۰.۴	۴۸۰.۴	۳۱۳.۲	۱۴۳.۱	۱۵۶.۵	۱۲۴.۵	۱۰۵.۶	۱۳۸.۹	۲۵۱.۷	۲۵۵.۶	۴۸۰.۴	۱۶۹.۹	۱۸۳.۲	۳۱۳.۲	۲۲۷.۶
5	پیشگین	زن	۸۳.۰	۸۶.۱	۷۸.۴	۷۰.۸	۹۰.۲	۴۸.۶	۴۳.۳	۴۴.۲	۹۵.۱	۱۰۶.۲	۱۰۹.۷	۸۴.۳	۴۴.۲	۱۲۹.۵	۸۴.۹
6	انحراف معیار	زن	۴۲.۱	۴۲.۱	۴۲.۴	۱۳.۴	۲۰.۱	۱۲.۴	۹.۸	۱۵.۸	۴۶.۹	۴۰.۶	۳۳.۰	۲۱.۹	۴۱.۲	۴۸.۳	۴۰.۰
7	حداکثر	زن	۱۴.۹	۱۴.۹	۳۳.۱	۵۸.۵	۷۳.۲	۴۰.۵	۳۳.۱	۲۱.۳	۵۰.۵	۵۶.۰	۶۷.۴	۶۵.۵	۱۴.۹	۶۲.۷	۳۸.۲
8	حداکثر	زن	۱۹۷.۱	۱۷۵.۰	۱۹۷.۱	۸۵.۰	۱۱۲.۳	۶۲.۸	۵۸.۵	۶۵.۹	۱۷۴.۰	۱۶۷.۲	۱۷۵.۰	۱۲۱.۲	۱۱۵.۳	۱۹۷.۱	۱۴۷.۸
9	پیشگین	زن	۳۸.۱	۳۹.۹	۳۵.۵	۳۵.۵	۴۰.۰	۲۵.۲	۲۰.۰	۲۳.۸	۴۰.۲	۵۳.۰	۴۷.۷	۴۱.۳	۲۲.۸	۵۵.۵	۳۸.۷
10	انحراف معیار	زن	۱۸.۳	۱۸.۸	۱۷.۷	۹.۳	۷.۴	۱۰.۴	۵.۰	۷.۶	۱۲.۵	۲۵.۳	۱۴.۰	۲۲.۲	۱۴.۰	۱۸.۸	۱۸.۲
11	حداکثر	زن	۱۲.۰	۱۲.۰	۱۳.۴	۲۴.۴	۳۱.۵	۱۴.۷	۱۳.۴	۱۳.۵	۲۳.۱	۳۵.۱	۳۱.۷	۱۵.۰	۱۲.۰	۲۵.۶	۱۸.۶
12	حداکثر	زن	۹۶.۶	۹۶.۶	۷۵.۳	۴۳.۸	۴۴.۷	۳۵.۵	۲۵.۴	۳۴.۷	۵۶.۴	۹۶.۶	۷۹.۰	۷۶.۰	۴۶.۸	۷۵.۳	۶۵.۲
13	پیشگین	زن	۲۷.۰	۳۱.۲	۲۰.۸	۱۹.۱	۲۳.۴	۱۲.۹	۱۳.۲	۱۸.۳	۲۸.۳	۴۰.۵	۴۰.۳	۳۲.۷	۱۴.۶	۳۰.۶	۲۴.۱
14	انحراف معیار	زن	۱۴.۴	۱۵.۵	۱۰.۱	۳.۹	۴.۹	۳.۱	۳.۱	۷.۵	۱۰.۸	۱۸.۹	۱۰.۸	۱۸.۳	۶.۷	۹.۳	۱۳.۱
15	حداکثر	زن	۸.۷	۸.۷	۹.۶	۱۵.۵	۱۸.۵	۹.۶	۹.۶	۱۴.۹	۲۳.۲	۲۸.۰	۱۱.۳	۸.۷	۱۵.۶	۱۰.۶	۴۵.۹
16	PM _{2.5}	آبادان	۷۲.۲	۷۲.۲	۴۵.۹	۲۳.۲	۲۸.۳	۱۵.۶	۱۷.۳	۳۰.۳	۴۳.۱	۷۲.۲	۶۶.۰	۶۰.۰	۲۵.۶	۴۰.۶	۴۵.۹
17	PM ₁	مشهد	۷۲.۲	۷۲.۲	۴۵.۹	۲۳.۲	۲۸.۳	۱۵.۶	۱۷.۳	۳۰.۳	۴۳.۱	۷۲.۲	۶۶.۰	۶۰.۰	۲۵.۶	۴۰.۶	۴۵.۹

* * * فصل سرد معادل شش ماهه دوم سال است.

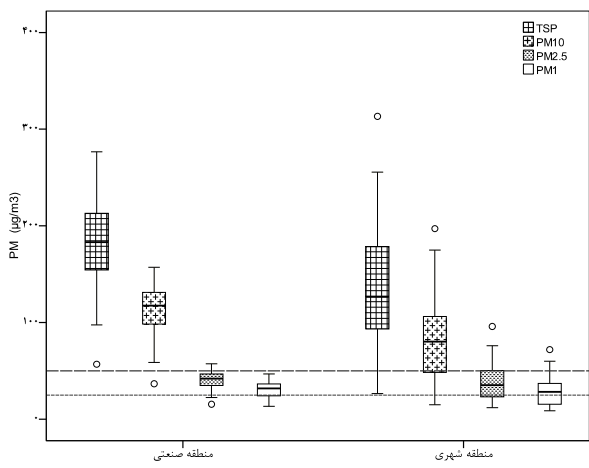
جدول ۴. مقایسه متوسط غلظت‌های ۲۴ ساعته ذرات در محل‌های مورد مطالعه با مقادیر رهنمودی و استانداردها.

هوای محیطی				شاخص‌ها	
PM ₁	PM _{2.5}	PM ₁₀	TSP		محل مطالعه
-	۲۵	۵۰	-	*(µg/m ³) مقادیر استاندارد ملی برای متوسط ۲۴ ساعته	
-	۳۵	۱۵۰	-	**(µg/m ³) متوسط U.S. EPA برای ۲۴ ساعته	مقادیر استاندارد
	۱۰	۲۰		مقادیر متوسط سالیانه بر اساس رهنمود WHO	
۶۲	۶۲	۶۲	۶۲	تعداد نمونه‌های اخذ شده ۲۴ ساعته	منطقه
-	۴۳	۴۵	-	تعداد روزهای بالاتر از حد استاندارد ملی	
-	۳۱	۵	-	تعداد روزهای بالاتر از حد استاندارد U.S. EPA	
۲۷	۳۸/۱	۸۳	۱۳۹/۲	(µg/m ³) مقادیر متوسط سالیانه	شهری
-	۶۹	۷۳	-	درصد روزهای بالاتر از حد استاندارد ملی	
-	۵۰	۸	-	درصد روزهای بالاتر از حد استاندارد U.S. EPA	
۲۱	۲۱	۲۱	۲۱	تعداد نمونه‌های اخذ شده ۲۴ ساعته	
-	۱۸	۲۰	-	تعداد روزهای بالاتر از حد استاندارد ملی	
-	۱۵	۱	-	تعداد روزهای بالاتر از حد استاندارد U.S. EPA	منطقه
۳۱/۷	۴۰	۱۱۰	۱۷۸/۷	(µg/m ³) مقادیر متوسط سالیانه	صنعتی
-	۸۵	۹۵	-	درصد روزهای بالاتر از حد استاندارد ملی	
-	۷۱	۵	-	درصد روزهای بالاتر از حد استاندارد U.S. EPA	

* استانداردهای هوای پاک مصوب ۱۳۸۸/۰۵/۱۱ (این استانداردها برابر با مقادیر رهنمودی سازمان جهانی بهداشت (۲۰۰۵) است).

** استانداردهای U.S. EPA اعلام شده در سال ۲۰۱۳ (<http://www.epa.gov/air/criteria.html>)

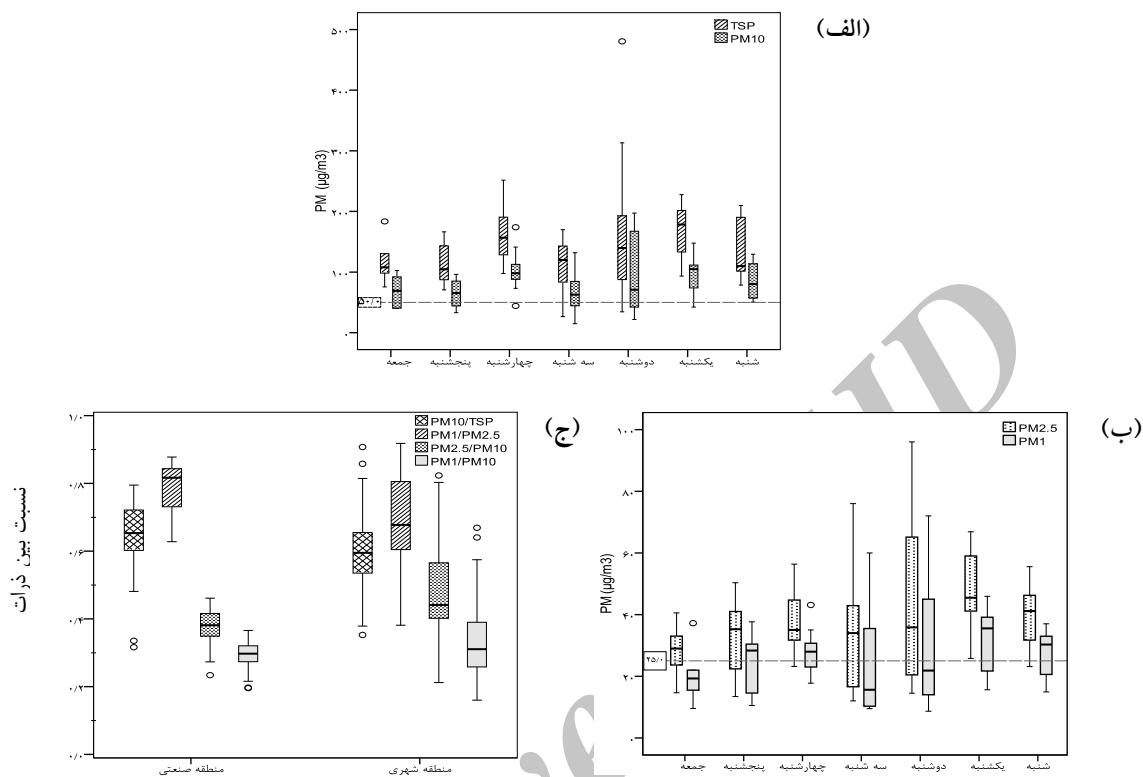
در شکل ۴(الف و ب) نمودار جعبه‌ای تغییرات غلظتی ذرات معلق با تغییر ایام هفته نمایش داده شده است. همان‌گونه که در تصاویر مربوطه نیز مشخص است روزهای اواسط هفته (شنبه) که مصادف با روزهای پرکار هفته هستند بدليل افزایش تردد خودروها که یکی از منابع عمده ذرات معلق در منطقه شهری است؛ غلظت ذرات معلق بطور چشمگیری افزایش می‌یابد و بر عکس در ایام پایانی هفته (پنجشنبه و جمعه) که تردد خودروها در داخل شهر کاهش یافته و اغلب مردم یا در خانه استراحت نموده و یا به خارج از شهر می‌روند غلظت ذرات در مقایسه با سایر روزها نوسانات کمتری داشته و مقدار غلظت ذرات نیز کاهش می‌یابد. این نتایج مطابق با مطالعه DeGaetano است؛ DeGaetano و همکاران در سال ۲۰۰۴ تغییرات زمانی و مکانی ذرات معلق PM_{2.5} را



شکل ۳. نمودار جعبه‌ای غلظت‌های سالیانه ذرات معلق هوای محیطی محل‌های مورد مطالعه (خطوط شکسته افقی در نمودارها به مقادیر سطح استاندارد متوسط ۲۴ ساعته PM₁₀ و PM_{2.5} مربوط است)(n=۶۲ برای منطقه شهری و n=۲۱ برای منطقه صنعتی)

اواخر هفته که با تعطیلات پایان هفتہ مصادف است دارای غلظت بالاتری هستند(۱۷).

در شهر نیویورک بررسی نموده و دریافتند که اواسط هفته و روزهای کاری هفتگی غلظت ذرات معلق نسبت به روزهای



شکل ۴. تغییرات هفتگی غلظت جرمی TSP و PM₁₀ (الف)، PM_{2.5} و PM₁ (ب) هوای منطقه شهری و نمودار جعبه‌ای مقادیر سالیانه نسبت‌های PM₁/PM_{2.5}، PM₁/PM₁₀، PM_{2.5}/PM₁₀ و PM₁₀/TSP (ج)

نسبت به TSP به مشخصات جغرافیایی، منابع انتشار ذرات و نیز شرایط هواشناسی هر منطقه بستگی دارد. همانگونه که در شکل ۴(ج) مشخص است متوسط مقدار نسبت‌های PM₁/PM_{2.5} و PM₁/PM₁₀، PM_{2.5}/PM₁₀ و PM₁₀/TSP برای منطقه شهری به ترتیب برابر ۰/۶، ۰/۴۸، ۰/۳۳ و ۰/۰۷ و برای منطقه صنعتی به ترتیب برابر ۰/۶۱، ۰/۳۷، ۰/۲۸ و ۰/۷۷ است.

- نتایج مربوط به میزان مرگ و میر متناسب به ذرات معلق PM₁₀ و TSP، PM₁₀ و PM_{2.5} همراه با استفاده از نرم افزار AirQ ۲، ۲، ۳ میزان مرگ و میر (شامل برآورد مرگ ناشی از بیماری‌های

- تغییرات هفتگی و نسبت بین سایزهای مختلف ذرات معلق یکی از پارامترهایی که با استفاده از آن می‌توان تا حدودی منبع انتشار ذرات را از هم تفکیک نمود استفاده از نسبت غلظت بین ذرات معلق با سایزهای مختلف است. طبق مطالعات انجام یافته مشخص شده است که ذرات ناشی از احتراق جزو ذرات PM_{2.5} و PM₁ بوده و ذرات حاصل از فعالیت‌های مکانیکی نظیر فرسایش خاک‌ها در اثر بادها عمدها ذرات با اندازه درشت هستند. لذا با تعیین نسبت بین ذرات معلق می‌توان تا حدودی منبع عمده انتشار ذرات معلق در منطقه را تعیین نمود. در تمام نقاط دنیا ذرات PM₁₀، PM_{2.5} و PM₁ وجود دارد ولی میزان یا نسبت هر کدام از این ذرات نسبت به همدیگر و نیز

از این مقدار ۲۰۲ مورد در اثر بیماری‌های قلبی و عروقی بوده و تعداد ۹۹ مورد نیز در اثر بیماری‌های تنفسی برآورده شده است. همچنین تعداد مراجعات بیمارستانی بدلیل اثرات مزمن بیماری‌های قلبی عروقی ناشی از ذرات TSP برابر ۸۸ مورد تخمین زده شده است. از طرفی میزان کل مرگ ناشی از ذرات $PM_{2.5}$ و PM_{10} به ترتیب برابر ۳۶۳ و ۳۶۰ مورد برآورده شده ۲۲۷ است که در مورد ذرات PM_{10} از ۳۶۳ مورد برآورده شده ۲۲۷ مورد مربوط به مرگ ناشی از بیماری‌های قلبی و عروقی بوده و تعداد ۶۷ مورد مربوط به مرگ ناشی از بیماری‌های تنفسی است. $PM_{2.5}$ لازم به ذکر است که میزان مرگ و میر ناشی از ذرات PM_{10} قابل تجمعی نموده و هر کدام بطور جداگانه گزارش گردید. همچنین تعداد مراجعات بیمارستانی بدلیل بیماری‌های تنفسی و نیز بیماری‌های قلبی-مغزی ناشی از ذرات PM_{10} به ترتیب برابر ۱۱۰۷ و ۴۲۸ نفر برآورده شده است.

تنفسی، مرگ ناشی از بیماری‌های قلبی و عروقی، تعداد مراجعات بیمارستانی بعلت بیماری‌های قلبی و عروقی، تعداد مراجعات بیمارستانی بعلت بیماری‌های تنفسی) ناشی از ذرات معلق TSP , PM_{10} و $PM_{2.5}$ هوای شهر تبریز که با استفاده از نرم افزار AirQ2.2.3 و با لحاظ نمودن ریسک‌های نسبی حاصل از سایر مطالعات و نیز ریسک‌های نسبی پیش فرض این نرمافزار محاسبه و برآورده شده در جدول ۵ ارایه گردیده است. لازم به ذکر است که در این مطالعه اثرات سینزیستی و آنتاگونیسمی آلاینده‌های هوا در نظر گرفته نشده است که این امر به علت فقدان مطالعات در سطح دنیا است که تاکنون محققین قادر به ارائه مدلی جهت برآورده اثرات سینزیستی و آنتاگونیسمی آلاینده‌ها نبوده‌اند^(۱۸).

همان‌گونه که در جدول ۵ نیز مشخص شده است میزان کل مرگ منتبه به ذرات TSP برابر ۳۲۷ برآورده شده است که

جدول ۵. اثرات بهداشتی منتبه به ذرات معلق هوای شهر تبریز در سال ۱۳۹۲-۱۳۹۱

متتب تخمینی (حداکفل - حداکثر)	میانگین تعداد موارد پایه	میانگین درصد جزو میزان بروز (حداکفل - حداکثر)	متتب تخمینی (حداکفل - حداکثر)	میانگین خطر نسبی (حداکفل - حداکثر)
TSP				
327(221-725)	543.5	3.9(2.6-8.6)	1.003(1.002-1.007)	کل مرگ ^۱
202(0-575)	231	2.63(0-7.5)	1.002(1-1.006)	مرگ ناشی از بیماری‌های قلبی - عروقی ^۲
99(52-199)	48.4	9.7 (5.1-19.5)	1.008(1.004-1.018)	مرگ ناشی از بیماری‌های تنفسی ^۳
88(0-176)	101.4	5.6(0-11.3)	1.0044(1-1.0094)	تعداد مراجعات بیمارستانی بدلیل اثرات مزمن بیماری‌های قلبی و عروقی ^۴
PM_{10}				
363(246-478)	543.5	4.3(2.9-5.7)	1.006(1.004-1.008)	کل مرگ
227(130-319)	231	6.4(3.6-8.9)	1.009(1.005-1.013)	مرگ ناشی از بیماری‌های قلبی - عروقی
67(27-98)	48.4	8.9(3.6-13)	1.013(1.005-1.02)	مرگ ناشی از بیماری‌های تنفسی
1107(680-1515)	1260	5.7(3.5-7.8)	1.008(1.0048-1.0112)	تعداد مراجعات بدلیل بیماری‌های تنفسی
428(291-601)	436	6.3(4.3-8.9)	1.009(1.006-1.013)	تعداد مراجعات بیمارستانی بدلیل بیماری‌های قلبی و مغزی
$PM_{2.5}$				
360(267-450)	543.5	4.3(3.2-5.4)	1.015(1.011-1.019)	کل مرگ

¹ Total mortality² Cardiovascular mortality³ Respiratory mortality⁴ HA COPD = Hospital admissions for Chronic Obstructive Pulmonary Disease

بحث

بمنظور مقایسه نتایج مطالعه حاضر با اندازه گیری های بعمل آمده توسط اداره کل حفاظت محیط زیست آذربایجان شرقی، مقادیر اندازه گیری شده ذرات PM_{10} توسط دستگاه های موجود در ایستگاه های مختلف شهر تبریز (۶ ایستگاه) از این اداره کل دریافت شده و مورد آنالیز قرار گرفتند. بررسی نتایج حاصل از نزدیک ترین ایستگاه سنجش آلودگی به محل نمونه برداری در مطالعه حاضر نشان داد که با ضریب همبستگی 0.63 ، مقادیر سنجش شده توسط اداره کل حفاظت محیط زیست، 0.65 عذر صد مقادیر اندازه گیری شده مطالعه حاضر است. در این ایستگاه غلظت متوسط سالیانه ذرات PM_{10} در طی سال های 1387 ، 1388 ، 1389 و 1390 به ترتیب برابر 84 ± 72 $\mu\text{g}/\text{m}^3$ و $79 \pm 46/9$ $\mu\text{g}/\text{m}^3$ و $73 \pm 46/9$ $\mu\text{g}/\text{m}^3$ گزارش شده است. بر اساس نتایج حاصل از اندازه گیری غلظت ذرات متعلق مشخص گردید که بیشترین مقادیر غلظت 24 ساعته ذرات $PM_{2.5}$ در طول های ماه های سرد سال مشاهده ریز (PM_1 و $PM_{2.5}$) در کدام از رده بندی های ریزگردها مطابقت نداشت و شده است. به نحوی که حداقل 24 ساعته ذرات $PM_{2.5}$ در طی بهمن ماه اندازه گیری شدن (به ترتیب 97 و $72 \mu\text{g}/\text{m}^3$) از آنجایی که عمدۀ ترین منبع انتشار ذرات ریز (PM_1 و $PM_{2.5}$) احتراق سوخت های فسیلی است و از سوی دیگر، در طول بهمن ماه بدلیل کاهش دمای هوای این شهر مصرف سوخت های فسیلی بخصوص مصرف گاز خانگی افزایش می یابد و همچنین بدلیل وارونگی هوای تغییط آلینده ها، میزان انتشار ذرات ریز در طول این ماه و سایر ماه های سرد سال افزایش چشمگیری پیدا کرده است.

Naddafi و همکاران (۲۲) در سال 1385 تغییرات غلظت ذرات PM_{10} و TSP را در ماه های مختلف شهر تهران بررسی نموده و دریافتند که از نظر غلظت TSP ، اسفندماه با میانگین $191 \mu\text{g}/\text{m}^3$ آلووده ترین ماه و فروردین ماه با میانگین غلظت PM_{10} $118/5 \mu\text{g}/\text{m}^3$ پاکترین ماه سال بوده و از نظر آلینده PM_{10} دی ماه با میانگین $66/5 \mu\text{g}/\text{m}^3$ آلووده ترین ماه و فروردین ماه با میانگین غلظت PM_{10} $42/1 \mu\text{g}/\text{m}^3$ پاک ترین ماه سال هستند. همچنین Azizifar و همکاران (۲۳) در سال 1390 مقدار ذرات متعلق هوای شهروند را در طی ماه های مختلف بررسی

بر اساس اندازه گیری های بعمل آمده در منطقه شهری، حداقل متوجه غلظت TSP در مهرماه ($210 \mu\text{g}/\text{m}^3$) بوده؛ و حداقل غلظت 24 ساعته TSP نیز در دیماه ($480 \mu\text{g}/\text{m}^3$) بود. با توجه به غلظت بالای ذرات TSP در روز 18 دی ماه، این فرض وجود داشت که ورود ریزگردها باعث افزایش غیرمنتظره ذرات TSP در این روز شده است ولی با بررسی PM_{10} سرعت باد، میزان عمق دید افقی و نیز غلظت ذرات PM_{10} در این روز و مقایسه آنها با مقادیر ارایه شده در سیستم Hoffman مشخص گردید افزایش غلظت TSP در این روز با هیچ کدام از رده بندی های ریزگردها مطابقت نداشته و بر اساس سرعت بالای باد در طی این روز، نتیجه گرفته شد که گرد و غبار محلی باعث افزایش غلظت TSP شده است. جدول 3 نشان می دهد که حداقل مقدار غلظت ذرات PM_{10} در طول مدت مطالعه برابر $197 \mu\text{g}/\text{m}^3$ بوده که در روز 12 مهر ماه رخ داده است. نتایج حاصل از مطالعات انجام یافته در خصوص غلظت ذرات متعلق PM_{10} در نقطه از اروپا نشان داده است که در طول سال های $1993-1994$ ، غلظت ذرات PM_{10} در شمال اروپا خیلی کم و در حدود $20 \mu\text{g}/\text{m}^3$ بوده است؛ ولی در شهرهای با جمعیت زیاد و ترافیک سنگین غلظت PM_{10} بیشتر بوده است بنحوی که غلظت PM_{10} در برلین $45-50 \mu\text{g}/\text{m}^3$ بودا پست $57 \mu\text{g}/\text{m}^3$ و در آتن برابر $98 \mu\text{g}/\text{m}^3$ بوده است (۱۶). در کشورهای آسیایی غلظت ذرات متعلق به مراتب بیشتر از مقادیر مربوط به کشورهای اروپایی است. در چین غلظت سالیانه PM_{10} در مناطق شهری بین $115-275 \mu\text{g}/\text{m}^3$ و در مناطق حاشیه شهری $68-192 \mu\text{g}/\text{m}^3$ آلووده ترین ماه 19 و در بانکوک غلظت ذرات PM_{10} برابر $80-100 \mu\text{g}/\text{m}^3$ در سال 20 mansouri و همکاران (۲۱) سنجش شده است (۲۰). در سال 1389 مقادیر غلظت ذرات PM_{10} و $PM_{2.5}$ در دو نقطه شهر تهران اندازه گیری نموده و دریافتند که میانگین غلظت ذرات PM_{10} در حدود $25-50 \mu\text{g}/\text{m}^3$ ، ذرات $PM_{2.5}$ در حدود $50-100 \mu\text{g}/\text{m}^3$ و غلظت ذرات PM_{10} در حدود $75-130 \mu\text{g}/\text{m}^3$ بوده است.

نسبی، سرعت باد، جهت باد و متوسط سطح فشار مقایسه نموده و دریافتند که کمترین غلظت ذرات $PM_{2.5}$ بین ساعت ۱-۵ صبح بوده و بالاترین غلظت آن در ساعت ۸-۱۰ صبح و ۱۸-۲۰ بعد از ظهر بوده است لذا به این نتیجه رسیدند که تشیدی ترافیک مهمترین عامل افزایش ذرات معلق است. همانگونه که قبلاً نیز بیان شد نسبت غلظت بین ذرات معلق یکی از پارامترهایی که با استفاده از آن می‌توان تا حدودی منبع انتشار ذرات را از هم تفکیک نمود. در کشورهای در حال توسعه عموماً نسبت بین ذرات $PM_{2.5}$ به ذرات PM_{10} برابر ۰/۵ بوده و در کشورهای توسعه یافته و پیشرفتی این نسبت بین ۰/۵-۰/۸ است (۲۵). با مشاهده مقدار نسبت $PM_{2.5}/PM_{10}$ در منطقه شهری مشاهده می‌شود این عدد برابر با مقدار ارایه شده برای کشورهای در حال توسعه بوده و به نوعی بیان کننده وضعیت ساخت و ساز و منابع انتشار ذرات معلق در هوای محیطی است. از طرفی نسبت $PM_{2.5}/PM_{10}$ در منطقه صنعتی برابر ۰/۳۷ است که به مراتب کمتر از مقادیر تعیین شده برای منطقه شهری بوده و بیان می‌کند که اغلب غلظت ذرات معلق منطقه صنعتی ناشی از منابع پوسته زمین و خاک‌های اطراف منطقه بوده و منابع احتراقی نقش کمتری را در انتشار ذرات معلق این منطقه بازی می‌کنند. همچنین با بررسی شکل (۴) (ج) مشاهده می‌شود که دامنه تغییرات نسبت ذرات در منطقه شهری گسترده از منطقه صنعتی است که دلیلی بر تنوع منابع انتشار ذرات معلق در منطقه شهری است.

طبق مطالعات صورت گرفته در چین، نسبت $PM_{2.5}/PM_{10}$ در مناطق شهری برابر ۰/۵-۰/۷۵ بددست آمده است (۱۹). mansouri و همکاران (۲۱) در سال ۱۳۸۹ با بررسی ذرات معلق هوای شهر تهران، نسبت $PM_{10}/PM_{2.5}$ را برابر ۰/۳۷ و نسبت $PM_{2.5}/PM_{10}$ را برابر ۰/۷ بددست آوردند. با مقایسه نسبت‌های متعلق به شهر تهران با مقادیر مربوط به شهر تبریز می‌توان نتیجه گرفت که سهم منابع احتراقی در انتشار ذرات معلق هوای شهر تهران نسبت به شهر تبریز بیشتر بوده و نهایتاً در شهر تبریز و بخصوص منطقه صنعتی آن منبع خاک و تعلیق دوباره ذرات معلق سهم چشمگیری در انتشار ذرات معلق دارد.

نموده و گزارش نمودند که از نظر ذرات PM_{10} آبان ماه با میانگین $117\text{ }\mu\text{g}/\text{m}^3$ آلووده ترین ماه و مهرماه با میانگین غلظت $PM_{2.5}$ ۸۳ $\mu\text{g}/\text{m}^3$ پاکترین ماه بوده و از نظر ذرات $PM_{2.5}$ آذر ماه با میانگین $33\text{ }\mu\text{g}/\text{m}^3$ آلووده ترین و مرداد، شهریور و مهر با میانگین $17\text{ }\mu\text{g}/\text{m}^3$ پاکترین ماه های سال بودند. نهایتاً از نظر PM_1 آذرماه با غلظت ذرات PM_1 ۲۴ $\mu\text{g}/\text{m}^3$ آلووده ترین و مهر ماه با $8\text{ }\mu\text{g}/\text{m}^3$ پاک ترین ماه سال بودند.

یکی دیگر از نوساناتی که در بررسی غلظت ذرات معلق و نیز سایر آلاینده‌های هوا حائز اهمیت است نوسانات ساعتی انتشار آلاینده‌ها است. نتایج بررسی حاضر نشان داد که غلظت ذرات با شروع فعالیت مردم شهر در ساعت حدود ۷ صبح شروع به افزایش می‌کند تا جایی که در ساعت حدود ۱۲ غلظت ذرات PM_{10} و ساعت ۱۰-۱۱ غلظت ذرات $PM_{2.5}$ و PM_1 به حداکثر میزان خود در طول ۵ h می‌رسند. همچنین مشاهده گردید که پیک افزایش غلظت ذرات یکبار دیگر ولی با شدت کمتری در ساعت حدود ۱۹-۲۰ و با فعالیت‌های عصر گاهی مردم و افزایش تردد خودروها در این ساعت مجدد تکرار می‌شود. DeGaetano و همکاران (۱۷) در مطالعه ذرات معلق شهر نیویورک دریافتند که بالاترین غلظت ذرات $PM_{2.5}$ در تابستان بین ساعات ۷-۹ صبح و ۱۹-۲۲ بعد از ظهر بوده و کمترین غلظت ذرات طی زمستان و در ۶-۴ صبح است. ایشان با ملاحظه تغییرات ساعتی و نیز هفتگی غلظت ذرات به این نتیجه رسیدند که هر چند فعالیت‌های انسانی عامل اصلی تغییرات ساعتی و روزانه غلظت ذرات است ولی تغییرات آب و هوایی نیز در میزان غلظت ذرات دخیل هستند. ایشان همچنین بیان داشتند که غلظت ذرات معلق در فصول گرم سال نسبت به فصول سرد سال بیشتر است. این امر بر خلاف نتایج مطالعه حاضر بوده و بدلیل شرایط آب و هوایی مختلف و همچنین نوع سیستم‌های گرمایشی منازل و نیز استفاده از سوخت‌های با مشخصات متفاوت در دو منطقه است.

shi و همکاران (۲۴) در سال ۲۰۰۷-۲۰۰۸ در هنک هنگ تغییرات ساعتی غلظت ذرات $PM_{2.5}$ را با تغییرات ساعتی پارامترهای مختلف از قبیل درجه حرارت محیط، رطوبت

۲/۵ not اکسیژن تولید شده و ۳/۶۷ not گاز کربنیک جذب شده و از انتشار حدود ۸۶ ذرات معلق بر روی هوای شهر جلوگیری می‌شود.

تشکر و قدردانی

این مقاله بخشی از پایاننامه تحت عنوان بررسی کیفی و برآورد اثرات بهداشتی ذرات معلق و هیدروکربن‌های چند حلقوی هوای شهر تبریز ناشی از آلودگی هوای صنایع نفتی در مقطع دکتری بهداشت محیط است که با حمایت معاونت پژوهشی دانشکده بهداشت دانشگاه علوم پزشکی تهران و مرکز تحقیقات آلودگی هوای پژوهشکده محیط زیست، دانشگاه علوم پزشکی تهران در قالب طرح پژوهشی به شماره ۹۲-۰۱-۴۶-۲۱۲۵۷ اجرا شده است. همچنین نویسنده‌گان این مقاله مراتب تشکر و قدردانی خود را از مجموعه دانشکده بهداشت دانشگاه علوم پزشکی تبریز و مجتمع پژوهشی تبریز اعلام می‌نمایند.

نتیجه گیری

علاوه بر منابع احتراقی انتشار ذرات معلق، عدم وجود فضای سبز مناسب در کمربند جنوبی شهر تبریز، وجود کارخانجات آسفالت و شن و ماسه در جنوب شهر، دپوی نخله‌های شهرداری در محدوده کمربند جنوبی شهر، عدم وجود کمربند سبز حد فاصل محدوده استقرار صنایع و محدوده شهر از جمله عوامل تولید و انتشار ذرات معلق در هوای شهر تبریز است. آلودگی هوای شهر تبریز بعنوان یکی از هشت شهر آلوده کشوری باشیست بیش از پیش مورد توجه مسئولین محترم کشوری و استانی قرار گیرد که در این راستا تخصیص اعتبار ملی و استانی در اجرایی کردن طرح‌ها و راهکارها و تدابیر خاص جهت کاهش آلودگی هوای تواند راهگشا باشد. در حال حاضر با توجه به وقوع پدیده گرد و غبار فرصت خوبی است که در افزایش فضای سبز و جنگل‌کاری شهر تبریز جدیت نشان داده شود چرا که با افزایش هر هکتار جنگل سالیانه تا

منابع

- 1- De Nevers N. Air Pollution Control Engineering. 2nd ed. New York: Mc Graw Hill; 2000.
- 2- Loomis D, Grosse Y, Lauby-Secretan B, Ghissassi FE, Bouvard V, Benbrahim-Tallaa L, et al. The carcinogenicity of outdoor air pollution. *The Lancet Oncology*. 2013;14(13):1262-63.
- 3- Shah SD, Cocker DR, Miller JW, Norbeck JM. Emission rates of particulate matter and elemental and organic carbon from in-use diesel engines. *Environmental Science and Technology*. 2004;38(9):2544-50.

- 4- Riedl M, Diaz-Sanchez D. Biology of diesel exhaust effects on respiratory function. *Journal of Allergy and Clinical Immunology*. 2005;115(2):221-28.
- 5- Kelly FJ, Fussell JC. Size, source and chemical composition as determinants of toxicity attributable to ambient particulate matter. *Atmospheric Environment*. 2012;60:504-26.
- 6- Franklin M, Zeka A, Schwartz J. Association between PM_{2.5} and all-cause and specific-cause mortality in 27 US communities. *Journal of Exposure Science and Environmental Epidemiology*.

- 2007;17(3):279-87.
- 7- Liu L, Ruddy TD, Dalipaj M, Szyszkowicz M, You H, Poon R, et al. Influence of personal exposure to particulate air pollution on cardiovascular physiology and biomarkers of inflammation and oxidative stress in subjects with diabetes. *Journal of Occupational and Environmental Medicine*. 2007;49(3):258-65.
- 8- Wark K, Warner CF, Davis WT. Air Pollution: Its Origin and Control. 3rd ed. New York: Addison-Wesley; 1998.
- 9- Manoli E, Voutsas D, Samara C. Chemical characterization and source identification/apportionment of fine and coarse air particles in Thessaloniki, Greece. *Atmospheric Environment*. 2002;36(6):949-61.
- 10- USEPA. SLAMS/NAMS/PAMS network review guidance. Washington DC: United States Environmental Protection Agency; 1998. Report No.: EPA-454/R-98-003.
- 11- USEPA. Compendium of methods for the determination of inorganic compounds in ambient air; sampling of ambient air for total suspended particulate matter (SPM) and PM10 using high volume (HV) sampler. Washington DC: United States Environmental Protection Agency; 1999. Report No.: US.EPA-Method IO-2.1.EPA/625/R-96/010a.
- 12- WHO. Quantification of the health effects of exposure to air pollution. Bilthoven, Netherlands: World Health Organization; 2000. Report No.: EUR/01/5026342.
- 13- Delangizan S, Jafari Motlagh Z. Dust phenomenon affects on cardiovascular and respiratory hospitalizations and mortality "A case study in Kermanshah, during March-September 2010-2011. *Iranian Journal of Health and Environment*. 2013;6(1):65-76 (in Persian).
- 14- Naddafi K, Hassanvand MS, Yunesian M, Moameniha F, Nabizadeh R, Faridi S, et al. Health impact assessment of air pollution in megacity of Tehran, Iran. *Iranian Journal of Environmental Health Science and Engineering*. 2012;9(1):1-7.
- 15- USEPA. National ambient air quality standards (NAAQS). Washington DC: United States Environmental Protection Agency; 2014 [cited 2014 Jan 17]. Available from: <http://www.epa.gov/air/criteria.html>.
- 16- WHO. Air Quality Guidelines for Particulate Matter, Ozone, Nitrogen Dioxide and Sulfur Dioxide. Geneva: World Health Organization; 2005.
- 17- DeGaetano AT, Doherty OM. Temporal, spatial and meteorological variations in hourly PM_{2.5} concentration extremes in New York City. *Atmospheric Environment*. 2004;38(11):1547-58.
- 18- Goudarzi G, Mohammadi M, Ahmadi Angali K, Mohammadi B, Soleimani Z, Babaei A, et al. Estimation of number of cardiovascular death, myocardial infarction and chronic obstructive pulmonary disease (COPD) from NO₂ exposure using AirQ Model in Ahvaz City During 2009. *Iranian Journal of Health and Environment*. 2013;6(1):91-102 (in Persian).
- 19- Wei F, Teng E, Wu G, Hu W, Wilson W, Chapman R, et al. Ambient concentrations and elemental compositions of PM₁₀ and PM_{2.5} in four Chinese Cities. *Environmental Science & Technology*. 1999;33(23):4188-93.
- 20- Vichit-Vadakan N, Ostro BD, Chestnut LG, Mills DM, Aekplakorn W, Wangwongwatana S, et al. Air pollution and respiratory symptoms: Results from three panel studies in Bangkok, Thailand. *Environmental Health Perspectives*. 2001;109(3):381-87.
- 21- Mansouri N, Esmaeilzadeh J. Investigating suspended particles resulted from Tehran's highways traffic. *Journal of Traffic Engineering*. 2011;44:15-19 (in Persian).
- 22- Naddafi K, Nabizadeh R, Nazmara S, Nour Moradi H, Mohammadi Moghaddam F. Studying the TSP and PM₁₀ measurements and description of the air quality according to the Air Quality Index (AQI) in the central parts of Tehran City in 2005-2006. *Journal of Health System Research*. 2010;6(4):657-65 (in Persian).
- 23- Azizifar M, Naddafi K, Mohammadian M, Safdari M, Khazaie M. Investigation of the air quality index and the concentration of suspended particles in the air of Qom. *Journal of Qom University of Medical Sciences*. 2011;5(2):59-63 (in Persian).
- 24- Shi W, Wong MS, Wang J, Zhao Y. Analysis of

airborne particulate matter (PM2.5) over hong kong using remote sensing and GIS. Sensors. 2012;12(6):6825-36.

25- Hassanvand MS, Naddafi K, Faridi S, Arhami M, Nabizadeh R, Sowlat MH, et al. Indoor/outdoor relationships of PM10, PM2.5, and PM1 mass concentrations and their water-soluble ions in a retirement home and a school dormitory. Atmospheric Environment. 2014;82:375-82.

Archive of SID

Investigation of the ambient particulate matter concentration changes and assessing its health impacts in Tabriz

A. Gholampour¹, R. Nabizadeh², M.S. Hassanvand³, H. Taghipour⁴, S. Faridi⁵, A.H. Mahvi^{6*}

¹Center for Air Pollution Research, Institute for Environmental Research, Tehran University of Medical Sciences, Tehran, Iran; Department of Environmental Health Engineering, School of Public Health, Tabriz University of Medical Sciences, Tabriz, Iran

²Department of Environmental Health Engineering, School of Public Health, Tehran University of Medical Sciences, Tehran, Iran; Center for Air Pollution Research, Institute for Environmental Research, Tehran University of Medical Sciences, Tehran, Iran

³Center for Air Pollution Research, Institute for Environmental Research, Tehran University of Medical Sciences, Tehran, Iran; Department of Environmental Health Engineering, School of Public Health

⁴Department of Environmental Health, Faculty of Health, Tabriz University of Medical Sciences, Tabriz, Iran

⁵Department of Environmental Health Engineering, School of Public Health, Tehran University of Medical Sciences, Tehran, Iran

⁶Center for Solid Waste Research, Institute for Environmental Research, Tehran University of Medical Sciences, Tehran, Iran; Department of Environmental Health Engineering, School of Public Health, Tehran University of Medical Sciences, Tehran, Iran

Received: 20 August 2014 ; Accepted: 19 November 2014

ABSTRACT

Background & Objectives: Determining the impacts of air pollution in cities is facing two major challenges; first, the limited data on the health effects of pollutants, and secondly, the lack of information on exposure to air pollutants and their concentration. This is an applied-observational carried out to determine the concentration, seasonal changes, and to estimate the health impacts attributed to the particulate matters in Tabriz during September 2012 to July 2013.

Materials and Methods: The particulate matters were sampled using high volume sampler and were analyzed using portable HAZ-DUST EPAM-5000. The health impacts of particulate matters were estimated using AirQ software developed by W.H.O.

Results: The annual mean concentration of TSP, PM₁₀, PM_{2.5}, and PM₁ in the urban sampling site were 139, 83, 38, and 27 µg/m³ respectively. In addition, these concentrations were 178, 110, 40, and 27 µg m⁻³ in industrial area. The average of PM₁₀/TSP, PM_{2.5}/PM₁₀, PM₁/PM₁₀, and PM₁/PM_{2.5} ratio level was 0.6, 0.48, 0.33, and 0.7 in the urban areas and 0.61, 0.37, 0.28, and 0.77 in the industrial areas respectively. The total mortalities associated with the TSP, PM₁₀, and PM_{2.5} concentrations were estimated as 327, 363, and 360 respectively. Nevertheless, the calculated cardiovascular mortality for TSP and PM₁₀ were estimated to be 202 and 227 respectively.

Conclusion: This research found that the concentrations of PM10 and PM2.5 were 73 and 69% more than National Standard; and 8 and 5% more than USEPA Standards respectively. In Tabriz, especially industrial area, the soils of surrounding ground and re-suspension of particles from contaminated soils have a significant contribution to particulate emissions.

Key Words: Air pollution, Particulate matter, AirQ2.2.3 software, Health impact assessment, Tabriz

*Corresponding Author: ahmahvi@yahoo.com

Tel: +982166462267